

# **Introducción a la Computación e Información Cuántica**

## **Módulo 1: Fundamentos y Motivaciones**

*6 al 10 de Octubre de 2025*

**Dr. Andres A. REYNOSO**

XXIX Escuela Internacional de Ingeniería y Computación

## Producto Interno Hermitiano

# Límites Físicos de la Computación Clásica

## La Transición

### Inevitable hacia Nuevos Paradigmas

#### *Ley de Moore: Saturación Inminente*

- Escalado de transistores aproximándose al límite atómico (5 a 3 nm)
- Disipación térmica y efectos cuánticos como factores limitantes fundamentales
- Rendimientos marginales decrecientes en arquitecturas clásicas

#### *Necesidad de Nuevos Sustratos Físicos*

- Explotación de recursos informacionales cuánticos: superposición y entrelazamiento
- Computación basada en principios físicos fundamentalmente diferentes
- Ventajas asintóticas demostrables para clases específicas de problemas

# Computación Cuántica como Paradigma Emergente

## Transición del Bit Clásico al Qubit Cuántico

### *Evolución de los Modelos de Computación*

- **Clásico:** Estados discretos (0/1), operaciones booleanas
- **Cuántico:** Estados continuos ( $\alpha|0\rangle + \beta|1\rangle$ ), evoluciones unitarias
- **Ventaja:** Paralelismo cuántico inherente mediante superposición

### *Fundamentos Matemáticos Sólidos*

- Álgebra lineal sobre espacios de Hilbert complejos
- Teoría de la probabilidad generalizada (amplitudes complejas)
- Grupos de Lie y geometría diferencial para dinámicas cuánticas

# Ecosistema de Computación Cuántica Actual

## Infraestructura Empresarial y de Investigación

### *Plataformas Cloud Cuánticas Disponibles*

- **IBM Quantum:** Arquitecturas superconductoras (Quantum Heron)
- **Google Quantum AI:** Procesadores Sycamore + framework Cirq
- **Microsoft Azure Quantum:** Soluciones híbridas integradas
- **Amazon Braket:** Acceso multi-proveedor vía AWS

### *Indicadores de Madurez Tecnológica*

- Roadmaps tecnológicos públicos y verificables
- Inversión corporativa y gubernamental sostenida
- Publicaciones peer-reviewed con resultados reproducibles

# Panorama de Oportunidades y Desafíos

## Análisis Estratégico del Ecosistema Cuántico

### *Oportunidades Estratégicas*

- Simulación de materiales y fármacos
- Optimización de portfolios financieros
- Machine Learning con kernels cuánticos
- Criptografía cuántica (QKD)
- Ventajas algorítmicas asintóticas

### *Desafíos Críticos*

- Corrección cuántica de errores (QEC)
- Escalabilidad de qubits físicos
- Decoherencia y ruido ambiental
- Migración criptográfica (PQC)
- Desarrollo de talento especializado

# Relevancia para Ingenieros y Científicos

## Preparación para la Próxima Revolución Computacional

### *Competencias Técnicas Esenciales*

- Programación de sistemas cuánticos (Qiskit, Cirq, Q#)
- Diseño de algoritmos híbridos clásico-cuánticos
- Comprensión de límites de computabilidad
- Implementación de criptografía post-cuántica

### *Oportunidades de Liderazgo*

- Posicionamiento en mercados emergentes
- Desarrollo de estándares industriales
- Investigación aplicada en problemas del mundo real
- Formación de equipos interdisciplinarios

# Ejemplo 1: Actualidad Finanzas

Artículo 30 de Septiembre 2025 sobre finanzas y cuántica: Link a INFOBAE.  
El autor es profesor de UBA y UNR, ex-presidente de CNV.

OPINIÓN >

## La “amenaza cuántica” empieza a desplegarse con luces y sombras en el sistema financiero

El dominio de esta tecnología podría definir qué países y corporaciones controlarán las próximas generaciones de la infraestructura financiera



Por Carlos Weltz y Daniel Díaz





# Ejemplo 1: Actualidad Finanzas

Artículo 30 de Septiembre 2025 sobre finanzas y cuántica: Link a INFOBAE.  
El autor es profesor de UBA y UNR, ex-presistente de CNV.

OPINIÓN >

## La “amenaza cuántica” empieza a desplegarse con luces y sombras en el sistema financiero

El dominio de esta tecnología podría definir qué países y corporaciones controlarán las próximas generaciones de la infraestructura financiera



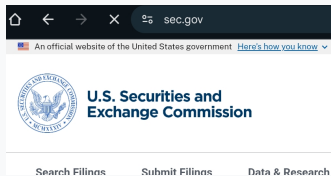
Por Carlos Weltz y Daniel Díaz



El HSBC utilizó una computadora cuántica de IBM (procesadores Quantum Heron) para **mejorar la probabilidad de éxito de cotizaciones al negociar bonos corporativos**. Al combinar el poder de la computación cuántica con los sistemas clásicos, el banco informó haber **obtenido una mejora de hasta el 34%** en la precisión para estimar si operaciones de compra-venta de obligaciones europeas se concretarían al precio cotizado, **obteniendo de esa forma una ventaja competitiva al descubrir señales de precio “escondidas”** en los complejos y ruidosos datos del mercado que los modelos clásicos no pueden identificar.

## Ejemplo 2: Post-Quantum Cryptography

*En este contexto, organismos como el Banco de Pagos Internacionales (BIS) y el Fondo Monetario Internacional (FMI) destacan la urgencia de migrar hacia los nuevos estándares de Criptografía Post-Cuántica (PQC).*



### Post-Quantum Financial Infrastructure Framework (PQFIF)

A Roadmap for the Quantum-Safe Transition of Global Financial Infrastructure

**Prepared for:** U.S. Crypto Assets Task Force - SEC

**Date:** September 03, 2025

No solo esos organismos. La SEC de EEUU tiene un roadmap (Septiembre 2025) al respecto: link.



# El Principio de von Neumann - Landauer: El Costo Físico de Borrar

- El Principio de von Neumann - Landauer establece una conexión fundamental entre la **información** (un concepto abstracto) y la **energía** (una cantidad física).
- Postula que **borrar información** es un proceso irreversible que tiene un costo energético mínimo e inevitable.
- Cualquier operación que destruya información debe disipar una cantidad mínima de energía en forma de **calor** hacia el entorno.

# Información, Entropía y Calor

- La información está ligada a la **entropía**, una medida del desorden o la incertidumbre de un sistema.
- Borrar un bit (ej. forzarlo al estado 0) reduce su incertidumbre y, por lo tanto, disminuye su entropía.
- La **Segunda Ley de la Termodinámica** exige que la entropía total del universo no disminuya. Para compensar, la entropía del entorno debe aumentar, lo que ocurre mediante la disipación de calor.
- La energía mínima disipada al borrar 1 bit clásico es:

$$E_{diss} = k_B T \ln 2$$

Donde  $k_B$  es la constante de Boltzmann,  $T$  es la temperatura absoluta del entorno y el  $\ln 2$  refleja los dos estados posibles del bit.

# El Salto Cuántico: de Bits a Cúbits

- El principio es directamente aplicable a la \*\*información cuántica\*\*.
- La unidad de información es el \*\*cúbit\*\*, que puede existir en \*\*superposición\*\* de sus estados.
- La entropía de un sistema cuántico se describe mediante la \*\*entropía de von Neumann\*\*:

$$S = -k_B \text{Tr}(\rho \ln \rho)$$

- A pesar de la mayor complejidad, el resultado es el mismo: borrar la información de un cúbit disipa una energía mínima de  $k_B T \ln 2$ .
- Este fenómeno ha sido verificado experimentalmente.

# ¿Por Qué Es Importante para la Computación?

- **Límites Fundamentales de la Computación:** Define la barrera física definitiva para la eficiencia energética de la computación clásica. Es un límite que no se puede superar con mejor ingeniería.
- **Computación Reversible:** Impulsó el desarrollo de la computación reversible, que busca realizar cálculos sin borrar información. En teoría, una computación totalmente reversible podría no disipar calor.
- **Computación Cuántica:** Las operaciones cuánticas (evoluciones unitarias) son inherentemente **\*\*reversibles\*\***. Esta es una de las claves de la eficiencia energética teórica de los ordenadores cuánticos. El principio solo aplica en pasos irreversibles como la medición o el reinicio de cúbits.

- **La información es física**

- J.C. Maxwell, '1871
  - J. von Neumann, '27
  - L. Szilard, '29
  - C. Shannon, '48
  - L.N. Brillouin, '53
  - L. Boltzmann, '1886
  - E.T. Jaynes, '57
  - R. Landauer, '61
  - C.H. Bennett, '73
  - J.D. Bekenstein, '73
- i) *Los sistemas de procesamiento de información (hardware) deben obedecer las leyes de la física*
  - ii) *Un algoritmo de computación (software) podría tener un costo intrínseco de energía o entropía*

# Contenidos

Motivaciones Fundamentales

La Crisis de la Física Clásica (1900-1925)

Éxitos de la Mecánica Cuántica

El Experimento de Stern-Gerlach

Superposición y el Qubit

Notación de Dirac (Bra-Ket)

Postulados de la Mecánica Cuántica

Producto Interno Hermitiano



# Pilar I: Mecánica Clásica

## El Dominio del Movimiento

El universo era visto como un mecanismo de relojería predecible y determinista.

### *Protagonistas*

Isaac Newton (S. XVII), J.L. Lagrange (S. XVIII), W.R. Hamilton (S. XIX)

### *La Ley Fundamental (Newton)*

La relación entre fuerza, masa y aceleración lo explicaba todo, desde la caída de una manzana hasta la órbita de los planetas.

$$\mathbf{F} = m\mathbf{a}$$

### *Formalismos Avanzados*

La Mecánica Lagrangiana ( $L = T - V$ ) y Hamiltoniana ( $H = T + V$ ) proveyeron herramientas matemáticas de inmenso poder y elegancia.

## Pilar II: Electromagnetismo

## La Gran Unificación de Maxwell

En 1865, James Clerk Maxwell unificó la electricidad, el magnetismo y la óptica en una sola teoría.

### *Las Ecuaciones de Maxwell (forma diferencial)*

$$\nabla \cdot \mathbf{E} = \frac{\rho}{\epsilon_0} \quad (\text{Ley de Gauss para E})$$

$$\nabla \cdot \mathbf{B} = 0 \quad (\text{No existen monopolos magnéticos})$$

$$\nabla \times \mathbf{E} = -\frac{\partial \mathbf{B}}{\partial t} \quad (\text{Ley de Faraday})$$

$$\nabla \times \mathbf{B} = \mu_0 \left( \mathbf{J} + \epsilon_0 \frac{\partial \mathbf{E}}{\partial t} \right) \quad (\text{Ley de Ampère-Maxwell})$$

### *El Triunfo Definitivo*

La teoría predecía la existencia de ondas electromagnéticas que viajaban a la velocidad  $c = (\mu_0 \epsilon_0)^{-1/2}$ . ¡La luz era una de estas ondas!

# Pilar III: Termodinámica y Mecánica Estadística Del Átomo a lo Macroscópico

El puente entre el comportamiento microscópico de los átomos y las propiedades que medimos (temperatura, presión, etc.).

## *Protagonista*

Ludwig Boltzmann (década de 1870)

## *La Idea Revolucionaria*

Las leyes de la termodinámica emergen del comportamiento estadístico promedio de un número gigantesco de partículas.

## *La Ecuación de la Entropía*

Grabada en su tumba, conecta la entropía  $S$  (desorden) con el número de microestados posibles  $W$  de un sistema.

$$S = k_B \ln W$$

# Un Edificio (Casi) Terminado

## El Sentimiento a Finales del Siglo XIX

La sensación general era que los grandes descubrimientos ya se habían hecho.  
El futuro era solo medir con más precisión.

*"Ya no queda nada nuevo por descubrir en física. Todo lo que resta son mediciones más y más precisas."*

— LORD KELVIN (ATRIBUIDO, CA. 1900)

*"La ciencia de la física está tan sustancialmente establecida que es muy improbable que se produzcan futuros descubrimientos de primera magnitud."*

— ALBERT A. MICHELSON (1894)

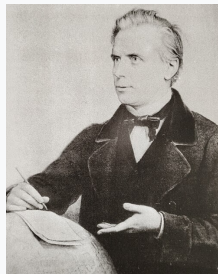
# El Consejo a un Joven Max Planck

Cuando Planck consideraba estudiar física, su consejero Philipp von Jolly le dijo:

*en esta área, casi todo ya está descubierto, y todo lo que queda es rellenar algunos huecos sin importancia.*



(e) Max Planck.



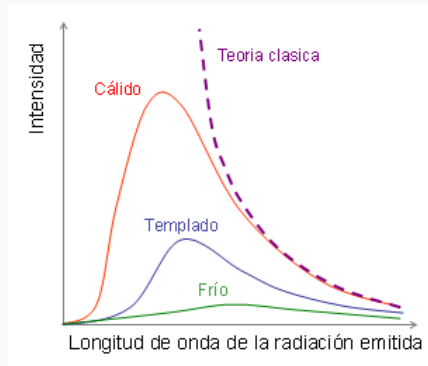
(f) Philipp von Jolly.

# El Mundo en 1900

- **Física Clásica:** Mecánica de Newton + Electromagnetismo de Maxwell
- Se pensaba que la física estaba “casi completa”
- **Problemas sin resolver:**
  - Radiación del cuerpo negro
  - Efecto fotoeléctrico
  - Espectros atómicos discretos
  - Estabilidad del átomo

*"Sólo quedan dos pequeñas nubes en el horizonte..."* - Lord Kelvin (1900)

# Problema 1: Radiación del Cuerpo Negro



## El Problema:

- Un objeto caliente emite radiación electromagnética
- La teoría clásica predecía: **Catástrofe ultravioleta**
- A frecuencias altas  $\rightarrow$  energía infinita

# Problema 1: Radiación del Cuerpo Negro

## Solución de Planck (1900):

- La energía está **cuantizada**
- $E = h\nu$
- $h = 6,626 \times 10^{-34} \text{ J}\cdot\text{s}$
- La energía viene en "paquetes" discretos

Nace la constante de Planck:  $h$  (o  $\hbar = h/2\pi$ )



## Problema 2: Efecto Fotoeléctrico

### Experimento:

- Luz incide sobre un metal
- Se emiten electrones
- **Extraño:** La energía de los electrones depende de la *frecuencia* de la luz, no de su intensidad

### Einstein (1905):

- La luz son **partículas**: fotones
- Cada fotón tiene energía  $E = h\nu$
- Un fotón arranca un electrón
- Premio Nobel 1921

**Dualidad onda-partícula:** La luz se comporta como onda y partícula

# Problema 3: Espectros Atómicos

## Observación:

- Los átomos emiten luz en frecuencias discretas
- Cada elemento tiene su código de barras"
- Ejemplo: Hidrógeno tiene líneas en 656nm, 486nm, 434nm...

## Modelo de Bohr (1913):

- Electrones en órbitas discretas
- Niveles de energía cuantizados:  

$$E_n = -\frac{13,6 \text{ eV}}{n^2}$$
- Saltos entre niveles  $\rightarrow$  fotones
- $\Delta E = h\nu$

**La energía en los átomos está cuantizada**

# La Nueva Mecánica Cuántica (1925-1927)

- **Schrödinger (1926):** Ecuación de onda

$$i\hbar \frac{\partial \psi}{\partial t} = \hat{H}\psi$$

- **Heisenberg (1925):** Mecánica matricial
- **Born (1926):** Interpretación probabilística

$$P(x) = |\psi(x)|^2$$

- **Principio de Incertidumbre de Heisenberg (1927):**

$$\Delta x \cdot \Delta p \geq \frac{\hbar}{2}$$

**No se puede conocer simultáneamente posición y momento con precisión arbitraria**

# Principio de Exclusión de Pauli (1925)

- **Fermiones** (espín semientero:  $1/2, 3/2, \dots$ ):
  - Electrones, protones, neutrones
  - Obedecen el principio de exclusión: *no pueden estar dos en el mismo estado*
  - Función de onda antisimétrica
- **Bosones** (espín entero:  $0, 1, 2, \dots$ ):
  - Fotones, fonones
  - Pueden ocupar el mismo estado
  - Función de onda simétrica

**Consecuencia:** La estructura de la tabla periódica, la química, y ¡nuestra existencia!

# Contenidos

Motivaciones Fundamentales

La Crisis de la Física Clásica (1900-1925)

Éxitos de la Mecánica Cuántica

El Experimento de Stern-Gerlach

Superposición y el Qubit

Notación de Dirac (Bra-Ket)

Postulados de la Mecánica Cuántica

Producto Interno Hermitiano

# QED: Electrodinámica Cuántica

- Teoría cuántica del electromagnetismo
- Desarrollada por Feynman, Schwinger, Tomonaga (años 40-50)
- **La teoría física más precisa jamás verificada**

## Momento magnético anómalo del electrón:

Teoría: 1,001 159 652 181 643(764)

Experimento: 1,001 159 652 180 73(28)

**¡Acuerdo hasta 12 cifras decimales!**

# Aplicaciones Tecnológicas de la Mecánica Cuántica

## La tecnología moderna es cuántica:

- **Teoría de bandas** (1930s): Semiconductores
  - Explica conductores, aislantes, semiconductores
- **Transistor** (1947): Base de la computación moderna
  - Efecto túnel cuántico
  - Hoy: miles de millones en cada chip
- **Láser** (1960): Emisión estimulada
  - Telecomunicaciones, medicina, industria
- **Superconductividad** (explicada en 1957): Teoría BCS
  - Pares de Cooper, condensado bosónico
  - MRI, levitación magnética, computación cuántica

# Impacto Histórico: Proyecto Manhattan

- **Fisión nuclear** (1938): Entendida mediante mecánica cuántica
- Túnel cuántico permite que núcleos se dividan
- **Bomba atómica (1945):**
  - Primera aplicación masiva de física cuántica
  - Terminó la Segunda Guerra Mundial
  - Cambió la geopolítica del siglo XX

**La mecánica cuántica no es sólo teoría abstracta:**

*Ha transformado el mundo en el que vivimos*



# Contenidos

Motivaciones Fundamentales

La Crisis de la Física Clásica (1900-1925)

Éxitos de la Mecánica Cuántica

El Experimento de Stern-Gerlach

Superposición y el Qubit

Notación de Dirac (Bra-Ket)

Postulados de la Mecánica Cuántica

Producto Interno Hermitiano

# ¿Cómo Medimos lo Cuántico?

**Problema:** Los objetos cuánticos son microscópicos

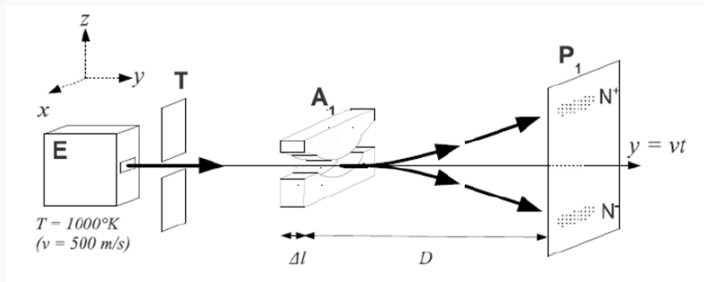
**Solución:** Necesitamos experimentos que amplifiquen efectos cuánticos

**Experimento de Stern-Gerlach (1922):**

- Átomos de plata atraviesan un campo magnético inhomogéneo
- Los átomos tienen **espín** (momento angular intrínseco)
- El campo magnético los desvía según su espín



# Resultado del Experimento de Stern-Gerlach



# Resultado del Experimento de Stern-Gerlach

## Predicción clásica:

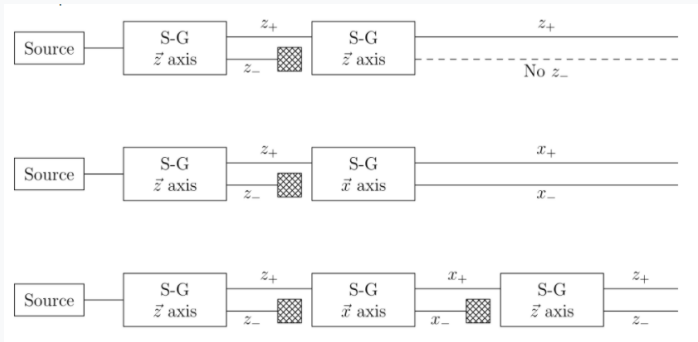
- El espín puede tener cualquier orientación
- Esperamos una distribución continua en la pantalla

## Resultado experimental:

- **¡Solo dos manchas!**
- Espín “arriba”(↑) o espín “abajo”(↓)
- Los valores están **cuantizados**

**El espín es un sistema de dos niveles: nuestro primer qubit**

# Midiendo en Diferentes Direcciones 1



## Midiendo en Diferentes Direcciones 2

**Pregunta:** ¿Qué pasa si rotamos el imán?

- **Eje Z:** Obtenemos  $|0\rangle$  arriba: UP o  $|1\rangle$  abajo: DOWN (equivalentes a  $|S_z, +\rangle$  y  $|S_z, -\rangle$ )
- **Eje X:** Obtenemos  $|+\rangle$  o  $|-\rangle$  (equivalentes a  $|S_x, +\rangle$  y  $|S_x, -\rangle$ )
- **Eje Y:** Obtenemos  $|+i\rangle$  o  $|-i\rangle$  (equivalentes a  $|S_y, +\rangle$  y  $|S_y, -\rangle$ )

**Experimento sorprendente:**

1. Mido en Z  $\rightarrow$  obtengo  $|0\rangle$  es decir  $|S_z, +\rangle$  (UP en z)
2. Lo anterior lo mido en X  $\rightarrow$  obtengo  $|S_x, +\rangle$  y  $|S_x, -\rangle$  (50 %-50 %)
3. Mido nuevamente en Z  $\rightarrow$  **¡Ya no es “arriba” con certeza!**

**Las mediciones cuánticas perturban el sistema**

# Mediciones Incompatibles

**Concepto clave:** Hay observables que no se pueden medir simultáneamente

- $S_z$  y  $S_x$  son **incompatibles** (no conmutan)
- Similar a posición y momento:  $[x, p] = i\hbar$
- Para el espín:  $[S_x, S_y] = i\hbar S_z$  (y permutaciones cíclicas)

**Consecuencia:**

- Si sé el valor de  $S_z$  con certeza
- Entonces  $S_x$  y  $S_y$  son completamente inciertos
- No es limitación experimental: **es fundamental**

# Contenidos

Motivaciones Fundamentales

La Crisis de la Física Clásica (1900-1925)

Éxitos de la Mecánica Cuántica

El Experimento de Stern-Gerlach

Superposición y el Qubit

Notación de Dirac (Bra-Ket)

Postulados de la Mecánica Cuántica

Producto Interno Hermitiano



# La Ecuación de Schrödinger es Lineal

$$i\hbar \frac{\partial \psi}{\partial t} = \hat{H}\psi$$

**Propiedad crucial:** Si  $\psi_1$  y  $\psi_2$  son soluciones, entonces también lo es:

$$\psi = \alpha\psi_1 + \beta\psi_2 \quad (\alpha, \beta \in \mathbb{C})$$

**Esto implica:**

- Un sistema puede estar en **superposición** de estados
- No es "uno u otro", es **"ambos simultáneamente"**
- Ejemplo:  $|\psi\rangle = \frac{1}{\sqrt{2}}(|0\rangle + |1\rangle)$

# El Estado Cuántico General

**Estado más general de un qubit:**

$$|\psi\rangle = \alpha |0\rangle + \beta |1\rangle$$

donde  $\alpha, \beta \in \mathbb{C}$  y  $|\alpha|^2 + |\beta|^2 = 1$

**Interpretación:**

- $|0\rangle$  y  $|1\rangle$  forman una **base ortonormal**
- $|\alpha|^2 =$  probabilidad de medir  $|0\rangle$
- $|\beta|^2 =$  probabilidad de medir  $|1\rangle$

**Regla de Born:** La probabilidad viene del módulo cuadrado de la amplitud

$$P(\text{resultado}) = |\text{amplitud}|^2$$

# Ejemplo Concreto: Stern-Gerlach

**Estado inicial:** Átomo con espín en dirección +X

$$|S_x, +\rangle = \frac{1}{\sqrt{2}}(|0\rangle + |1\rangle)$$

**Medimos en la base Z:**

- Probabilidad de  $|0\rangle$ :  $\left|\frac{1}{\sqrt{2}}\right|^2 = \frac{1}{2}$
- Probabilidad de  $|1\rangle$ :  $\left|\frac{1}{\sqrt{2}}\right|^2 = \frac{1}{2}$

**Después de la medición:**

- Si obtuvimos  $|0\rangle \rightarrow$  el estado colapsa a  $|0\rangle$
- Si obtuvimos  $|1\rangle \rightarrow$  el estado colapsa a  $|1\rangle$
- **La superposición desaparece**

# El Qubit: Sistema Cuántico de Dos Niveles

**Definición:** Un qubit es cualquier sistema cuántico con dos estados distinguibles

## Ejemplos físicos:

- Espín de un electrón:  $|\uparrow\rangle, |\downarrow\rangle$
- Polarización de fotón:  $|H\rangle, |V\rangle$
- Niveles de energía de un átomo:  $|g\rangle, |e\rangle$
- Estado de carga de un punto cuántico:  $|0e\rangle, |1e\rangle$
- Flujo magnético en un SQUID superconductor:  $|\circ\rangle, |\oslash\rangle$

**Notación estándar:**  $|0\rangle$  y  $|1\rangle$  (base computacional)

# Diferencia con un Bit Clásico

## Bit Clásico:

- Estado: 0 o 1
- **Un bit:** 2 estados posibles
- **N bits:**  $2^N$  estados posibles
- Solo puede estar en *uno* a la vez

## Qubit:

- Estado:  $\alpha |0\rangle + \beta |1\rangle$
- **Un qubit:**  $\infty$  estados (esfera de Bloch)
- **N qubits:** describe  $2^N$  amplitudes simultáneamente
- Está en **superposición**

**¡La superposición es el recurso fundamental para la computación cuántica!**

# Contenidos

Motivaciones Fundamentales

La Crisis de la Física Clásica (1900-1925)

Éxitos de la Mecánica Cuántica

El Experimento de Stern-Gerlach

Superposición y el Qubit

Notación de Dirac (Bra-Ket)

Postulados de la Mecánica Cuántica

Producto Interno Hermitiano

# Vectores de Estado: Kets

**Paul Dirac** introdujo una notación elegante para estados cuánticos

**Ket:**  $|\psi\rangle$  representa un vector columna en el espacio de Hilbert

$$|0\rangle = \begin{pmatrix} 1 \\ 0 \end{pmatrix}, \quad |1\rangle = \begin{pmatrix} 0 \\ 1 \end{pmatrix}$$

**Superposición:**

$$|\psi\rangle = \alpha |0\rangle + \beta |1\rangle = \begin{pmatrix} \alpha \\ \beta \end{pmatrix}$$

**Normalización:**  $\langle\psi|\psi\rangle = |\alpha|^2 + |\beta|^2 = 1$

# Vectores Duales: Bras

**Bra:**  $\langle\psi|$  es el vector fila (dual, conjugado hermítico)

$$\langle 0| = (1 \ 0), \quad \langle 1| = (0 \ 1)$$

Si  $|\psi\rangle = \begin{pmatrix} \alpha \\ \beta \end{pmatrix}$ , entonces:

$$\langle\psi| = (\alpha^* \ \beta^*)$$

**Producto interno** ("bracket"):

$$\langle\phi|\psi\rangle = \text{número complejo}$$

**Ortogonalidad:**  $\langle 0|1\rangle = 0, \langle 0|0\rangle = 1$



# Producto Externo y Operadores

**Producto externo:**  $|\psi\rangle \langle\phi|$  es una **matriz**

**Ejemplo:**

$$|0\rangle \langle 0| = \begin{pmatrix} 1 \\ 0 \end{pmatrix} \begin{pmatrix} 1 & 0 \end{pmatrix} = \begin{pmatrix} 1 & 0 \\ 0 & 0 \end{pmatrix}$$

$$|1\rangle \langle 1| = \begin{pmatrix} 0 \\ 1 \end{pmatrix} \begin{pmatrix} 0 & 1 \end{pmatrix} = \begin{pmatrix} 0 & 0 \\ 0 & 1 \end{pmatrix}$$

**Relación de completitud:**

$$\mathbb{I} = |0\rangle \langle 0| + |1\rangle \langle 1| = \begin{pmatrix} 1 & 0 \\ 0 & 1 \end{pmatrix}$$

Esta identidad es fundamental para cambios de base

# Las Matrices de Pauli

## Operadores fundamentales para qubits:

$$I = \begin{pmatrix} 1 & 0 \\ 0 & 1 \end{pmatrix}, \quad X = \begin{pmatrix} 0 & 1 \\ 1 & 0 \end{pmatrix}$$

$$Y = \begin{pmatrix} 0 & -i \\ i & 0 \end{pmatrix}, \quad Z = \begin{pmatrix} 1 & 0 \\ 0 & -1 \end{pmatrix}$$

## Propiedades:

- Hermíticas:  $\sigma^\dagger = \sigma$
- Unitarias:  $\sigma^\dagger \sigma = I$
- Autovalores:  $\pm 1$
- Traza:  $\text{Tr}(\sigma) = 0$  (excepto  $I$ )
- Anticonmutan:  $XY = -YX$ , etc.

# Interpretación Física de las Matrices de Pauli

**Compuerta X** (NOT cuántico):

$$X|0\rangle = |1\rangle, \quad X|1\rangle = |0\rangle$$

**Compuerta Z** (cambio de fase):

$$Z|0\rangle = |0\rangle, \quad Z|1\rangle = -|1\rangle$$

**Compuerta Y:**

$$Y|0\rangle = i|1\rangle, \quad Y|1\rangle = -i|0\rangle$$

**En notación de Dirac:**

$$X = |0\rangle\langle 1| + |1\rangle\langle 0|, \quad Z = |0\rangle\langle 0| - |1\rangle\langle 1|$$

# Estados Propios de las Matrices de Pauli

**Base Z (computacional):**

$$|0\rangle = \begin{pmatrix} 1 \\ 0 \end{pmatrix}, \quad |1\rangle = \begin{pmatrix} 0 \\ 1 \end{pmatrix}$$

**Base X:**

$$|+\rangle = \frac{1}{\sqrt{2}}(|0\rangle + |1\rangle) = \frac{1}{\sqrt{2}} \begin{pmatrix} 1 \\ 1 \end{pmatrix}$$

$$|-\rangle = \frac{1}{\sqrt{2}}(|0\rangle - |1\rangle) = \frac{1}{\sqrt{2}} \begin{pmatrix} 1 \\ -1 \end{pmatrix}$$

**Base Y:**

$$|+i\rangle = \frac{1}{\sqrt{2}}(|0\rangle + i|1\rangle), \quad |-i\rangle = \frac{1}{\sqrt{2}}(|0\rangle - i|1\rangle)$$

# La Esfera de Bloch

**Todo estado puro de un qubit se puede escribir:**

$$|\psi\rangle = \cos \frac{\theta}{2} |0\rangle + e^{i\phi} \sin \frac{\theta}{2} |1\rangle$$

donde  $\theta \in [0, \pi]$  y  $\phi \in [0, 2\pi)$

- Cada punto en una esfera = un estado cuántico
- Polo norte:  $|0\rangle$
- Polo sur:  $|1\rangle$
- Ecuador: superposiciones equitativas
- Estados opuestos = ortogonales

### Esfera de Bloch

## Dirección Arbitraria: $|S \cdot \hat{n}, \pm\rangle$

**Vector unitario arbitrario:**

$$\hat{n} = \sin \theta \cos \phi \hat{x} + \sin \theta \sin \phi \hat{y} + \cos \theta \hat{z}$$

**Estados propios del espín en dirección  $\hat{n}$ :**

$$|S \cdot \hat{n}, +\rangle = \cos \frac{\theta}{2} |0\rangle + e^{i\phi} \sin \frac{\theta}{2} |1\rangle$$

$$|S \cdot \hat{n}, -\rangle = \sin \frac{\theta}{2} |0\rangle - e^{i\phi} \cos \frac{\theta}{2} |1\rangle$$

**Operador de Pauli en dirección  $\hat{n}$ :**

$$\hat{\sigma}_n = \sin \theta \cos \phi X + \sin \theta \sin \phi Y + \cos \theta Z$$

Tiene autovalores  $\pm 1$  con autovectores  $|S \cdot \hat{n}, \pm\rangle$

# Contenidos

Motivaciones Fundamentales

La Crisis de la Física Clásica (1900-1925)

Éxitos de la Mecánica Cuántica

El Experimento de Stern-Gerlach

Superposición y el Qubit

Notación de Dirac (Bra-Ket)

Postulados de la Mecánica Cuántica

Producto Interno Hermitiano



# Los 4 Postulados Fundamentales

**Postulado 1:** El estado de un sistema cuántico se describe por un vector  $|\psi\rangle$  en un espacio de Hilbert

**Postulado 2:** La evolución temporal está dada por la ecuación de Schrödinger

$$i\hbar \frac{d}{dt} |\psi(t)\rangle = \hat{H} |\psi(t)\rangle$$

Solución:  $|\psi(t)\rangle = e^{-i\hat{H}t/\hbar} |\psi(0)\rangle = \hat{U}(t) |\psi(0)\rangle$

$\hat{U}$  es un operador **unitario**:  $\hat{U}^\dagger \hat{U} = \mathbb{I}$

**La evolución cuántica sin medición es unitaria y reversible**

## Los 4 Postulados Fundamentales (cont.)

**Postulado 3:** Cada observable físico está asociado a un operador hermítico  $\hat{A}$

- Los resultados posibles son los autovalores de  $\hat{A}$
- Después de medir y obtener  $a_i$ , el estado colapsa al autoestado  $|a_i\rangle$

**Postulado 4** (Regla de Born): La probabilidad de obtener  $a_i$  al medir  $\hat{A}$  en el estado  $|\psi\rangle$  es:

$$P(a_i) = |\langle a_i | \psi \rangle|^2$$

**Valor esperado:**  $\langle \hat{A} \rangle = \langle \psi | \hat{A} | \psi \rangle$

# Operadores Hermíticos y sus Propiedades

**Operador hermítico:**  $\hat{H}^\dagger = \hat{H}$

**Teorema:** Los autovalores de un operador hermítico son reales

*Demostración:*

$$\hat{H} |\psi\rangle = \lambda |\psi\rangle$$

$$\langle\psi| \hat{H} |\psi\rangle = \lambda \langle\psi|\psi\rangle = \lambda$$

$$\langle\psi| \hat{H}^\dagger |\psi\rangle = (\langle\psi| \hat{H} |\psi\rangle)^* = \lambda^*$$

$$\text{Pero } \hat{H}^\dagger = \hat{H} \Rightarrow \lambda = \lambda^* \Rightarrow \lambda \in \mathbb{R}$$

**Consecuencia:** Los observables físicos tienen valores medibles reales

# Autovectores de Distintos Autovalores son Ortogonales

**Teorema:** Si  $\hat{H} |\psi_1\rangle = \lambda_1 |\psi_1\rangle$  y  $\hat{H} |\psi_2\rangle = \lambda_2 |\psi_2\rangle$  con  $\lambda_1 \neq \lambda_2$ , entonces  $\langle \psi_1 | \psi_2 \rangle = 0$

*Demostración:*

$$\begin{aligned}
 \langle \psi_1 | \hat{H} | \psi_2 \rangle &= \lambda_2 \langle \psi_1 | \psi_2 \rangle \\
 (\langle \psi_1 | \hat{H} | \psi_2 \rangle)^* &= \langle \psi_2 | \hat{H}^\dagger | \psi_1 \rangle = \langle \psi_2 | \hat{H} | \psi_1 \rangle \\
 &= \lambda_1 \langle \psi_2 | \psi_1 \rangle = \lambda_1 \langle \psi_1 | \psi_2 \rangle^* \\
 \Rightarrow \lambda_2 \langle \psi_1 | \psi_2 \rangle &= \lambda_1 \langle \psi_1 | \psi_2 \rangle^* = \lambda_1 \langle \psi_1 | \psi_2 \rangle \\
 (\lambda_2 - \lambda_1) \langle \psi_1 | \psi_2 \rangle &= 0
 \end{aligned}$$

Como  $\lambda_1 \neq \lambda_2 \Rightarrow \langle \psi_1 | \psi_2 \rangle = 0$

# Operadores Unitarios

**Operador unitario:**  $\hat{U}^\dagger \hat{U} = \hat{U} \hat{U}^\dagger = \mathbb{I}$

**Teorema:** Los autovalores de un operador unitario tienen módulo 1:  $\lambda = e^{i\phi}$

*Demostración:*

$$\begin{aligned}\hat{U} |\psi\rangle &= \lambda |\psi\rangle \\ \langle\psi| \hat{U}^\dagger \hat{U} |\psi\rangle &= |\lambda|^2 \langle\psi|\psi\rangle \\ \langle\psi| \mathbb{I} |\psi\rangle &= |\lambda|^2 \\ 1 &= |\lambda|^2 \Rightarrow |\lambda| = 1\end{aligned}$$

**Propiedades importantes:**

- Los operadores unitarios preservan el producto interno
- Representan evoluciones temporales y compuertas cuánticas

# Proyectores

**Proyector:**  $\hat{P}^2 = \hat{P}$  y  $\hat{P}^\dagger = \hat{P}$

**Teorema:** Los autovalores de un proyector son 0 o 1

*Demostración:*

$$\hat{P}|\psi\rangle = \lambda|\psi\rangle$$

$$\hat{P}^2|\psi\rangle = \hat{P}(\lambda|\psi\rangle) = \lambda\hat{P}|\psi\rangle = \lambda^2|\psi\rangle$$

$$\text{Pero } \hat{P}^2 = \hat{P} \Rightarrow \lambda|\psi\rangle = \lambda^2|\psi\rangle$$

$$\Rightarrow \lambda = \lambda^2 \Rightarrow \lambda(\lambda - 1) = 0$$

Por lo tanto:  $\lambda = 0$  o  $\lambda = 1$

**Ejemplo:**  $\hat{P}_0 = |0\rangle\langle 0|$  proyecta sobre  $|0\rangle$

# Traza de un Operador

**Definición:**  $\text{Tr}(\hat{A}) = \sum_i \langle i | \hat{A} | i \rangle$  (suma de elementos diagonales)

**Propiedad cíclica:**  $\text{Tr}(\hat{A}\hat{B}\hat{C}) = \text{Tr}(\hat{B}\hat{C}\hat{A}) = \text{Tr}(\hat{C}\hat{A}\hat{B})$

*Demostración:*

$$\begin{aligned}\text{Tr}(\hat{A}\hat{B}\hat{C}) &= \sum_i \langle i | \hat{A}\hat{B}\hat{C} | i \rangle \\ &= \sum_{i,j,k} \langle i | j \rangle \langle j | \hat{A} | k \rangle \langle k | l \rangle \langle l | \hat{B} | m \rangle \langle m | n \rangle \langle n | \hat{C} | i \rangle \\ &= \sum_{j,k,l} \langle j | \hat{A} | k \rangle \langle k | \hat{B}\hat{C} | j \rangle = \text{Tr}(\hat{B}\hat{C}\hat{A})\end{aligned}$$

**Consecuencia:**  $\text{Tr}(\hat{U}^\dagger \hat{A} \hat{U}) = \text{Tr}(\hat{A})$

La traza es independiente de la base (invariante bajo transformaciones unitarias)

# Ejemplo: Traza de las Matrices de Pauli

**Calculamos explícitamente:**

$$\text{Tr}(X) = \text{Tr} \begin{pmatrix} 0 & 1 \\ 1 & 0 \end{pmatrix} = 0 + 0 = 0$$

$$\text{Tr}(Y) = \text{Tr} \begin{pmatrix} 0 & -i \\ i & 0 \end{pmatrix} = 0 + 0 = 0$$

$$\text{Tr}(Z) = \text{Tr} \begin{pmatrix} 1 & 0 \\ 0 & -1 \end{pmatrix} = 1 + (-1) = 0$$

$$\text{Tr}(I) = \text{Tr} \begin{pmatrix} 1 & 0 \\ 0 & 1 \end{pmatrix} = 1 + 1 = 2$$

**Observación:** Todas las matrices de Pauli (excepto  $I$ ) tienen traza cero



# Cambios de Base

**Pregunta:** ¿Cómo expresar  $|+\rangle$  en la base Y?

**Usamos la relación de completitud:**  $|+\rangle = (|+i\rangle \langle +i| + |-i\rangle \langle -i|) |+\rangle$   
 $= \langle +i|+\rangle |+\rangle + \langle -i|+\rangle |-i\rangle$

**Calculamos los productos internos:**

$$|+\rangle = \frac{1}{\sqrt{2}}(|0\rangle + |1\rangle)$$

$$|+i\rangle = \frac{1}{\sqrt{2}}(|0\rangle + i|1\rangle)$$

$$\langle +i|+\rangle = \frac{1}{2}(1 + 1 - i + i) = \frac{1}{2}(1 - i)$$

Similarmente:  $\langle -i|+\rangle = \frac{1}{2}(1 + i)$

$$\Rightarrow |+\rangle = \frac{1-i}{2} |+\rangle + \frac{1+i}{2} |-i\rangle$$

# Contenidos

Motivaciones Fundamentales

La Crisis de la Física Clásica (1900-1925)

Éxitos de la Mecánica Cuántica

El Experimento de Stern-Gerlach

Superposición y el Qubit

Notación de Dirac (Bra-Ket)

Postulados de la Mecánica Cuántica

Producto Interno Hermitiano

# Propiedades del Producto Interno

Un producto interno hermitiano  $(|v\rangle, |w\rangle) \equiv \langle v|w\rangle$  satisface:

1. **Linealidad en el segundo argumento:**  $\langle w|\sum_i \lambda_i v_i\rangle = \sum_i \lambda_i \langle w|v_i\rangle$
2. **Simetría hermítica:**  $\langle w|v\rangle = \langle v|w\rangle^*$
3. **Positividad:**  $\langle v|v\rangle \geq 0, \quad \langle v|v\rangle = 0 \Leftrightarrow |v\rangle = 0$

# Antilinealidad en el Primer Argumento

**Pregunta:** ¿Qué pasa con  $\langle \sum_i \lambda_i w_i | v \rangle$ ?

*Demostración:*

$$\begin{aligned}
 \left\langle \sum_i \lambda_i w_i | v \right\rangle &= \left( \langle v | \sum_i \lambda_i w_i \rangle \right)^* && \text{(por simetría hermítica)} \\
 &= \left( \sum_i \lambda_i \langle v | w_i \rangle \right)^* && \text{(por linealidad)} \\
 &= \sum_i \lambda_i^* \langle v | w_i \rangle^* \\
 &= \sum_i \lambda_i^* \langle w_i | v \rangle
 \end{aligned}$$

**Conclusión:** El producto interno es **antilineal** en el primer argumento:

$$\langle \sum_i \lambda_i w_i | = \sum_i \lambda_i^* \langle w_i |$$

# Ejemplo Numérico

**Sean:**  $|v\rangle = |0\rangle + 2i|1\rangle$  y  $|w\rangle = 3|0\rangle - i|1\rangle$

**Calculamos**  $\langle w|v\rangle$ :

$$\begin{aligned}\langle w|v\rangle &= \langle 3 \cdot 0 - i \cdot 1 | (|0\rangle + 2i|1\rangle) \\ &= (3\langle 0| + i\langle 1|)(|0\rangle + 2i|1\rangle) \\ &= 3\langle 0|0\rangle + 6i\langle 0|1\rangle + i\langle 1|0\rangle - 2\langle 1|1\rangle \\ &= 3 + 0 + 0 - 2 = 1\end{aligned}$$

**Verificamos**  $\langle v|w\rangle$ :  $\langle v|w\rangle = \langle w|v\rangle^* = 1^* = 1$

En este caso  $\langle v|w\rangle = \langle w|v\rangle$  porque el resultado es real

# Contenidos

Motivaciones Fundamentales

La Crisis de la Física Clásica (1900-1925)

Éxitos de la Mecánica Cuántica

El Experimento de Stern-Gerlach

Superposición y el Qubit

Notación de Dirac (Bra-Ket)

Postulados de la Mecánica Cuántica

Producto Interno Hermitiano

# Ideas principales de hoy

## Bloque 1: Contexto Histórico

- Crisis de la física clásica (1900-1925)
- Cuantización: Planck, Einstein, Bohr
- Mecánica cuántica: Schrödinger, Heisenberg, Born
- Aplicaciones: QED, transistores, láseres, superconductores

## Bloque 2: Fundamentos Cuánticos

- Experimento de Stern-Gerlach: cuantización del espín
- Superposición y el qubit
- Notación de Dirac: bras, kets, productos internos/externos
- Matrices de Pauli y la esfera de Bloch
- Postulados de la mecánica cuántica
- Álgebra lineal: operadores hermíticos, unitarios, proyectores, traza

# Conceptos Clave para Recordar

1. **Superposición:** Un qubit puede estar en  $\alpha |0\rangle + \beta |1\rangle$
2. **Medición:** Colapsa el estado, resultado probabilístico según  $|\alpha|^2$
3. **Observables incompatibles:** No se pueden medir simultáneamente
4. **Evolución unitaria:** Sin medición, el sistema evoluciona reversiblemente
5. **Matrices de Pauli:** Operadores fundamentales con autovalores  $\pm 1$
6. **Notación de Dirac:** Lenguaje elegante para estados y operadores

**¡Estos conceptos son la base para todo lo que sigue!**



# Próximos Días

- Producto tensorial
- Estados entrelazados (Bell, GHZ)
- Desigualdad de CHSH
- Teleportación cuántica
- Criptografía cuántica (QKD)
- Deutsch-Jozsa, Simon
- Grover (búsqueda)
- Shor (factorización)
- Corrección de errores cuánticos \*
- Machine learning cuántico \*\*

# Hoja de problemas

## **Asignación 1:** Ejercicios sobre bases alternativas y matrices de Pauli

- Verificar ortogonalidad de bases
- Cambios de base entre  $X$ ,  $Y$ ,  $Z$
- Calcular matrices de Pauli explícitamente
- Estados de espín en dirección arbitraria
- Verificar autovectores y autovalores

## **Recursos adicionales:**

- Nielsen & Chuang: "Quantum Computation and Quantum Information"

# ¡Gracias!

## Preguntas

*Mañana comenzamos con programación en IBM qiskit*

*(lo de hoy también se puede)*